

© 1989 ISIJ

論文

FeCl₂による炭素飽和溶鉄の脱珪

雀部 寧*・高島 俊治*²・平沢 宏幸*³

Desiliconization of Molten Iron by Using of FeCl_2

Minoru SASABE, Shunji TAKASHIMA and Hiroyuki HIRASAWA

Synopsis :

If reaction products of steelmaking reaction are gaseous, some problems on produced slags are reduced. Present work examined fundamentally, if desiliconization by vaporization method was possible or not.

About 30g of molten iron saturated by carbon and containing various amounts of silicon was melted in a graphite crucible. When Cl_2 is blown into the molten iron, chlorination of silicon and ferrous metal occurred simultaneously. Since chlorination rate of ferrous metal is faster than that of silicon, silicon is enriched in the molten iron apparently. When FeCl_2 powder filled in a pocket of plunger made of graphite is dipped into the molten iron, only silicon is chlorized.

The chlorination rate of silicon by FeCl_2 can be expressed as a first order reaction equation with respect to silicon content in iron. The apparent rate constants of the reaction are affected by the plunger pocket size and mass of molten iron. However, the rate constants are not affected by temperature.

The relationship among initial silicon content of the molten iron, $[\%Si]_0$, that at time t , $[\%Si]_t$, mass of $FeCl_2$ in the plunger pocket, W_p , sum of mass of $FeCl_2$ supplied to the molten iron, W_f , and mass of the molten iron, W_r , can be expressed as follows :

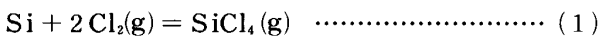
$$-\ln \frac{[\%Si]_t}{[\%Si]_0} = \frac{\exp(-W_p - 1.05)}{W_s^{0.81}} W_f$$

The major reaction product was observed as SiCl_4 .

Key words : steelmaking; molten iron; desiliconization; vaporization; reaction kinetics; Si; Cl₂; FeCl₂; SiCl₄.

1. 緒 言

本研究は溶銑中の珪素を気体として脱珪することができるかどうかを調べることを目的としている。反応生成物を気体として系外に除去することができればスラグにまつわる種々の問題点は解決され、その上、反応生成物が有効に利用できればさらに好ましいことになる。そこで、脱珪剤として工業的に比較的良く使用され、価格も比較的安価な塩素に注目した。すなわち、銑鉄中の Si が次の反応によって気体となつて除去されることを期待した。



SiCl_4 は融点 -70.0°C , 沸点 57.6°C である¹⁾ため、溶銑温度領域では気体であり、室温では液体である。し

たがつて、反応生成物の SiCl_4 はガスとして溶銑から分離されてコンデンサーまで輸送され、液体として回収できる可能性を持つている。

塩素あるいは塩化物を用いて銑鉄を精錬する研究は、ソーダ系やライム系のフラックスに FeCl_2 を混合しフラックスの脱りん能あるいは脱硫能向上させる研究は存在するが²⁾⁽³⁾ 反応生成物を塩化物とする研究は見当たらない。また、特許公報には Cl_2 ガスあるいは塩化鉄を用いて銑鉄または鋳鉄を精錬する方法が 2 件ある⁴⁾⁽⁵⁾。その一つは FeCl_2 により鋳鉄中の Mn, Ti が精錬できることを⁴⁾、もう一つは FeCl_2 あるいは FeCl_3 で脱炭と脱水素のできることを⁵⁾ 述べている。しかし、その方法の詳細については不明である。

鉄あるいは珪素の塩化反応の標準生成自由エネルギー

昭和 59 年・61 年 4 月本会講演大会にて発表 昭和 63 年 8 月 23 日受付 (Received Aug. 23, 1988)

* 千葉工業大学工学部 工博 (Faculty of Engineering, Chiba Institute of Technology, 2-17-1 Tsudanuma Narashino 275) (Received Aug. 28, 1988)

*3 千葉工業大学大学院 (現: (株) 鉄源) (Graduate School, Chiba Institute of Technology, Now Tetsugen Co. Ltd.)

*3 千葉工業大学大学院(現:(株)シチズン時計)(Graduate School, Chiba Institute of Technology, Now Citizen Watch Co. Ltd.)

Table 1. Composition of samples (mass %).

Sample No.	Si	C	Fe
1	0.598	4.2	Bal.
2	0.650	4.2	Bal.
3	1.50	4.2	Bal.
4	2.17	4.2	Bal.
5	5.52	4.2	Bal.

は OSBORN⁶⁾, KELLOGG⁷⁾, VILLA⁸⁾, BARIN¹⁾ らによつて収録されているが、その値は必ずしも一致していない。とくに、FeCl₂ と SiCl₄ のそれは非常に近い値であり、溶銑温度領域で両者の大小関係が報告により逆転している。このため、熱力学的検討を行うとしても、その精度に疑問があるため、実際に実験を行つて確認する必要がある。

2. 実験方法

2・1 試料

種々の珪素濃度を有する炭素飽和の鉄-炭素-珪素系合金を市販高純度電解鉄と市販フェロシリコン (75 % Si, 0.094 % C, 0.033 % P, 0.005 % S) から溶製した。珪素の挙動を明らかにするため、上記以外のものは添加しなかつた。溶製および塩素化実験に用いたるつぼは、黒鉛るつぼである。試料の珪素濃度は JIS G1212 による重量法で、炭素濃度は JIS G1211 によるガス容量法でそれぞれ分析確認した。他の微量元素についての確認は行つていない。試料の組成を Table 1 に示す。

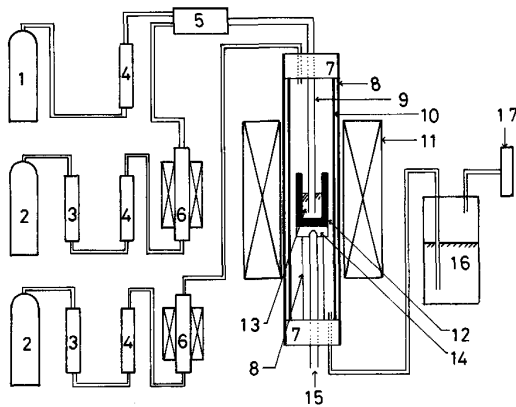
2・2 Cl₂ による脱珪

まず、塩素ガスのみで脱珪が可能かどうかを Fig. 1 の装置を用いて調べた。ムライト製反応管内に内径 38 mm, 長さ 600 mm の黒鉛製の管を入れ反応室を形成した。この中に 0.65 % Si の炭素飽和鉄約 12 g を溶解した外径 30 mm, 内径 20 mm, 深さ 30 mm の黒鉛るつぼを置き、溶鉄の底に達するように挿入した外径 10 mm, 内径 6 mm のムライト管から Cl₂:N₂=1:2 の混合ガスを毎分 150 ml の流量で吹き込んだ。反応終了後の試料は N₂ 霧囲気の炉内で冷却したのち、全量を分析に供した。反応温度は 1350°C 一定とし、反応時間は 5, 10, 30 min とした。

2・3 FeCl₂ による脱珪

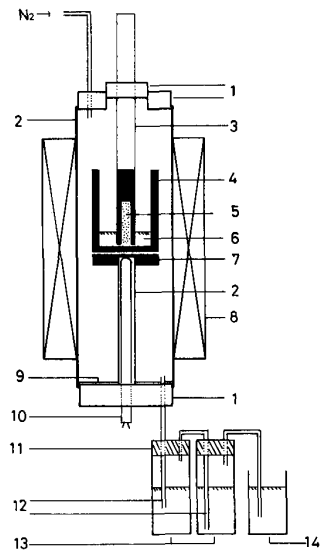
黒鉛製プランジャー先端のポケット内に充填した FeCl₂ 粉末を、黒鉛るつぼ内に溶解した溶鉄試料の底にまで達するように急激に押し込み、FeCl₂ を沸騰気化させてポケット内から噴出させて溶融試料と反応させた。実験装置の概略を Fig. 2 に示す。

外径 60 mm, 内径 52 mm, 長さ 1000 mm のムライト



1: Cl₂ cylinder, 2: N₂ cylinder, 3: Silicagel, 4: Flow meter, 5: Gas mixture, 6: Deoxidation furnace, 7: Silicone rubber stopper, 8: Mullite tube, 9: Alumina tube, 10: Graphite tube, 11: Electric furnace, 12: Graphite crucible, 13: Molten iron, 14: Graphite plate, 15: Thermocouple, 16: NaOH aqueous solution, 17: Aspirator

Fig. 1. Schematic illustration of experimental apparatus used for chlorination by Cl₂.



1: Silicone rubber stopper, 2: Mullite tube, 3: Plunger, 4: Graphite crucible, 5: FeCl₂, 6: Molten iron, 7: Graphite plate, 8: Electric furnace, 9: Al foil, 10: Thermocouple, 11: Trap bleeder, 12: Teflon tube, 13: Distilled water, 14: Bleeder

Fig. 2. Schematic illustration of experimental apparatus used for desiliconization by FeCl₂.

製反応管の中央に、外径 38 mm, 内径 27 mm, 深さ 95 mm の黒鉛るつぼを置いた。外径 10 mm, 長さ 300 mm で種々の内径と深さのポケットを持つ黒鉛製のプランジャーのポケット部は、ステンレス管で作成した支持部に耐火性接着剤で接続されている。反応管から排出されたガスは蒸留水を充填した 2 本の塩化物トラップを経由

したのち、蒸留水を充填したブリーダを経て大気に放出した。

プランジャーは内径6mm、深さ50mmのポケットに約2gの FeCl_2 を充填したものと標準とした。さらに投入 FeCl_2 量およびポケットの形状が反応速度に与える効果を調べるために、内径6mm、深さ100mmのポケットに約4gの FeCl_2 を充填したもの、内径6mm、深さ12.5mm、および内径3mm、深さ50mmのポケットにそれぞれ約0.5gの FeCl_2 を充填したものも用意した。つば中の溶鉄重量は、5、10および30gの3通りとした。

反応操作は次のようにした。所定量計り取った試料を黒鉛るつぼに入れ、反応管内に空塔速度0.24cm/sの脱水と脱酸をした洗浄 N_2 を流しながら、試料を所定温度にする。試料が所定温度に達したのち、 FeCl_2 を充填したプランジャーを試料の底まで挿入する。プランジャー挿入直後に窒素の流速を0.8cm/sに上昇させ反応生成物質をトラップに送る。プランジャーは挿入後10minそのままにしておき、10min経過後に引き抜いて次のプランジャーを挿入する、ということを繰り返す。冷却した試料は、SiとCについて分析した。 FeCl_2 投入途上でのサンプリングは行わなかつたので、1ヒート当たり1分析値が得られる。

FeCl_2 は市販の $\text{FeCl}_2 \cdot n\text{H}_2\text{O}$ を脱水と蒸留することにより精製した。蒸留して得られた FeCl_2 はごくわずかにクリーム色を帯びた粉末である。この粉末は空気触れると即座に純白色に変化する。精製した FeCl_2 は乾燥窒素を充填した保存びんに詰め、乾燥窒素を充填したデシケーター内に保存し、2日以内に使用するよう

にした。

精製した FeCl_2 をプランジャーのポケットに充填する際には、 FeCl_2 が空気と接触して吸湿することを避けるため、プランジャー、 FeCl_2 、上皿天秤などの必要なものすべてを乾燥窒素を少量充填した透明の塩化ビニル製の袋に入れ、このビニル袋の外から道具をつかんで操作することにより充填した。

3. 実験結果

3.1 Cl_2 による脱珪

Fig. 3に Cl_2 の反応時間と溶鉄中の珪素および炭素濃度の関係を示した。炭素濃度は反応時間によらずほとんど一定の値を示しているが、珪素は脱珪されるどころか逆に反応時間とともに濃縮されて行つた。

Fig. 4は試料の重量減少と、その重量減少と珪素濃度から計算した珪素の除去量を示したものである。反応時間30minにおいて比較すると、鉄の重量変化3.2gは約28%の鉄が塩化したことに対応する。また、珪素の重量変化0.02gは約3%の珪素が塩化したことに対応する。このように珪素も塩化されて試料から除去されているが、珪素の塩化量よりも鉄の塩化量のほうが多いために、見掛け上珪素が濃縮されたような結果が得られた。以上の結果より、鉄の塩化反応を抑えれば、珪素は塩化できることが分かつた。

3.2 FeCl_2 による脱珪

FeCl_2 を充填したプランジャーを溶融試料内に挿入すると、トラップ内にたちだに白い煙がでてくる。トラップ内に充填した蒸留水は着色しないが白濁する。反応装置とトラップの間を接続する管の反応装置に近い側には

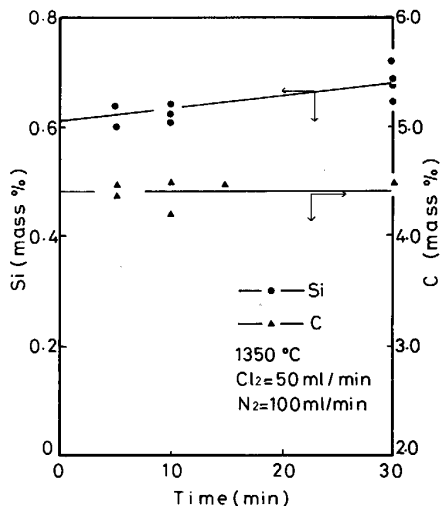


Fig. 3. Relationship between silicon and carbon contents and time after chlorination.

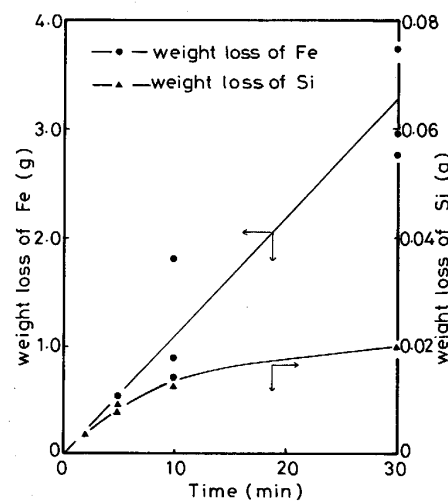


Fig. 4. Relationship between weight losses of iron and silicon and time after chlorination.

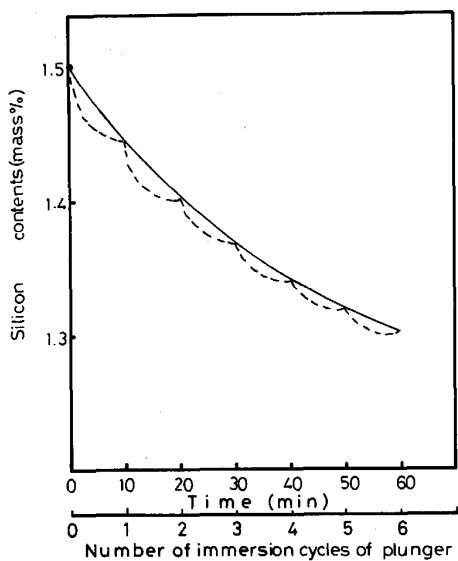


Fig. 5. Schematic illustration of change in silicon contents during desiliconization.

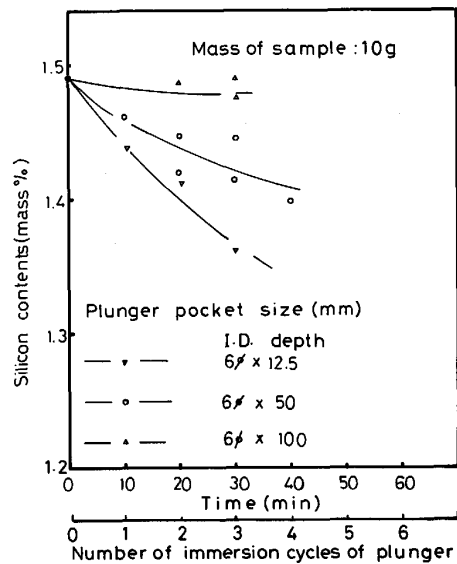


Fig. 7. Effect of pocket size of plunger on desiliconization rate in the case of initial silicon content of 1.5% and sample weight of 5g.

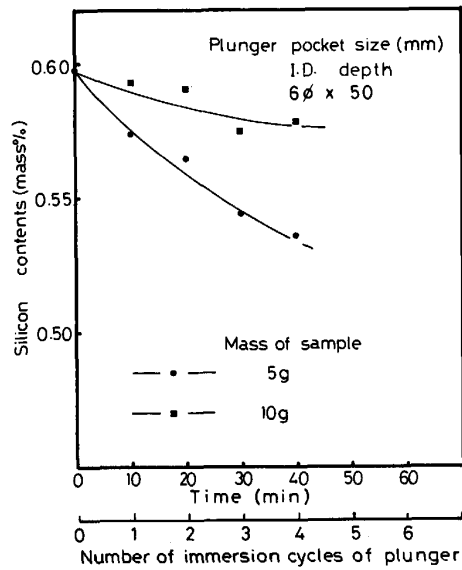


Fig. 6. Relationship between silicon contents and reaction time in the case of initial silicon content of 0.6%.

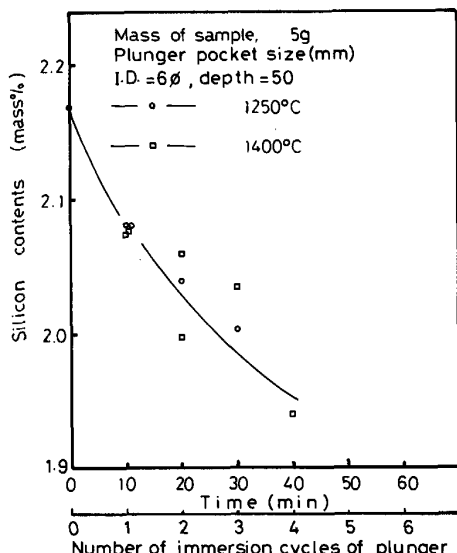


Fig. 8. Effect of temperature on desiliconization rate in the case of initial silicon content of 2.2%.

未反応の FeCl₂ である白い粉末が付着した。

一定量の FeCl₂ を充填したプランジャーを 10 min 間隔で溶鉄中に投入したが、このプランジャーは次のものを投入するまでそのまま溶鉄中に保持したため、プランジャーの投入と投入の間にすべての FeCl₂ が蒸発して系外に排出され、系内が窒素のみの雰囲気となつている期間があるはずである。そのため、溶鉄中の珪素濃度と

時間の関係は、Fig. 5 の点線のような挙動をとつてゐるはずである。しかし、本研究で用いた方法では時間とともに珪素濃度変化を細かく追跡することができないので、溶鉄中の珪素濃度変化は、以後、同図中の実線のような表現方法を使用する。

実験結果の一例として標準プランジャーを用いて 1250°C の試料に FeCl₂ を 1 ないし 4 回挿入した際の、

試料中の珪素濃度と時間の関係を試料重量をパラメーターとして Fig. 6 に示す。1回の FeCl_2 の投入量は 1.85 g である。 FeCl_2 投入途上でのサンプリングは行わなかつたので、図上の 1 点が 1 ヒートに対応する。Si の初期濃度を 1.5 %, 2.2 %, 5.5 % と変えてみたが、いずれの場合も、試料重量が大きくなると脱珪量が小さくなつた。

試料重量を一定にしておいてプランジャーのポケットのサイズを変化させた場合、すなわち、1回当たりの FeCl_2 の投入量を変えた場合の試料中の珪素濃度と時間の関係の一例として、初期珪素濃度が 1.5 % で試料重量が 10 g の場合を Fig. 7 に示した。1回当たりの FeCl_2 の投入量の小さい方が反応速度は大きくなつてゐる。

すべての測定を通じ、到達珪素濃度の最低値は、0.53 % であったが、この値は後に考察するように、まだ小さくすることが可能である。反応温度の影響は Fig. 8 に示すようにほとんど見られなかつた。

4. 考 察

4.1 反応生成物の検討

反応生成物が少ないと判断が困難になるので、溶融した FeCl_2 の中に固体のフェロシリコンを反応させることにより、反応生成物が何であるのかを調べた。

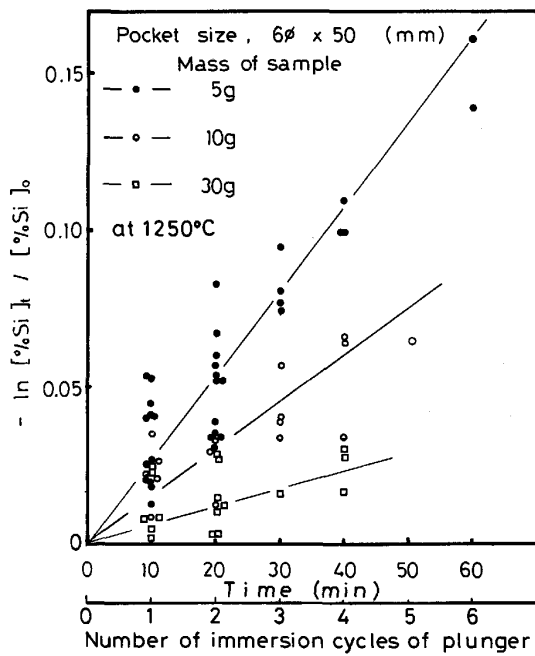


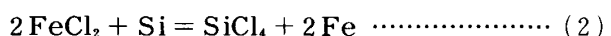
Fig. 9. First order plots for silicon contents in molten iron in the case of 6 mm in diameter and 50 mm in depth of plunger pocket.

外径 38 mm, 内径 27 mm, 深さ 95 mm の黒鉛るつば中に蒸留した FeCl_2 の粉末を約 30 g と、同じく粉末のフェロシリコンを 10 g 入れ、これを反応管に入れ N_2 気流中で 700°C にて加熱した。

反応管から出たガスは、氷とアセトンを寒剤にした冷却剤で冷却されているガラス製トラップを通り、さらに蒸留水を充填したブリーダを経て大気中に放出した。約 30 h 加熱を続けた後、トラップ内の物質を調べた。

寒剤で冷却したトラップに約 5 ml の無色透明な液体が溜まつた。ブリーダ中の蒸留水には微細な白い浮遊物が認められた。トラップ内の透明な液体は、空気中で発煙し刺激臭があつた。また、水と混合すると膠状になつた。これは SiCl_4 の性質に一致している⁹⁾¹⁰⁾。

以上より、反応生成物の主たるもののは(2)式の反応による SiCl_4 であると考えた。



また、蒸留水中の白い浮遊物は、(3)式の反応により

Table 2. Apparent rate constants of reaction at 1250°C

Mass of sample (g)	Apparent rate constant (min^{-1})
5	2.7×10^{-3}
10	1.5×10^{-3}
30	5.8×10^{-4}

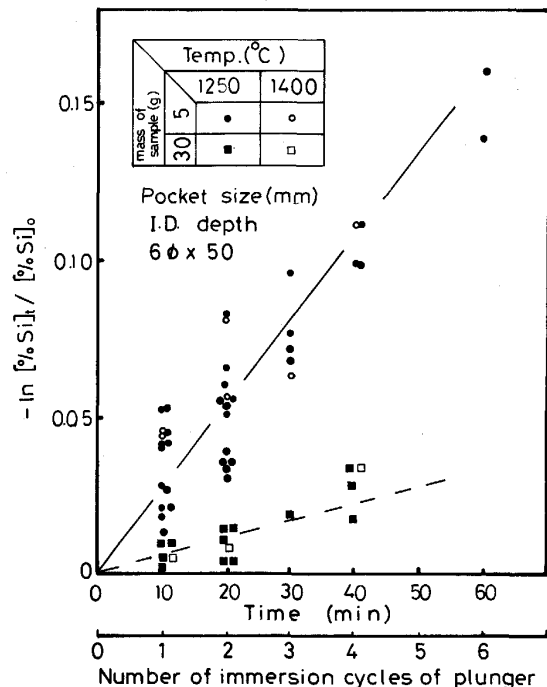
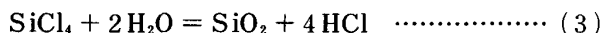


Fig. 10. First order plots for silicon contents in molten iron in the case of different weight of sample and temperature.

発生した SiO_2 であると思われる。



4・2 反応速度

珪素濃度とプランジャー投入中の時間との関係は多少のばらつきはあるものの、Fig. 9 に示すように(4)式の関係で整理できた。

$$-\ln \frac{[\%Si]_t}{[\%Si]_0} = k't \quad \dots \dots \dots \quad (4)$$

ここで、 k' は単位を min^{-1} とする見かけの反応速度定数、 $[\% \text{Si}]_t$ は単位を min とする時間 t における試料中の珪素濃度、 $[\% \text{Si}]_0$ は試料の初期珪素濃度である。

Fig. 9 は内径 6 mm, 深さ 50 mm のポケットを持つプランジャー, すなわち標準プランジャーを 1250°C の溶鉄に投入した場合の時間と $-\ln [\% \text{Si}]_t / [\% \text{Si}]_0$ の関係を, 溶鉄試料重量をパラメーターとして示したものである。この直線の傾きは溶鉄の試料重量が大きくなると小さい値となっている。この図から, FeCl_2 の投入量をさらに増加させると $[\% \text{Si}]_t$ は本実験結果の最小到達値である 0.53 % よりさらに小さくできることが推定される。この傾きを見かけの一次反応の速度定数として Table 2 にまとめた。

この見かけの反応速度定数と試料重量の関係は(5)式として記述できる。

$$\log k' = -0.81 \log W_s - 0.20 \quad \dots \dots \dots \quad (5)$$

ここで、 W_s は溶鉄試料重量で単位は g である。(4)と(5)式から反応速度式を(6)式として与えることができる。

$$-\ln \frac{[\%Si]_t}{[\%Si]_0} = \frac{0.63}{W^{0.81}} t \quad \dots \dots \dots \quad (6)$$

4・3 反応速度定数におよぼす温度の影響

Fig. 10 は、温度と溶鉄試料重量をパラメーターとした珪素濃度に関する見かけの一次反応プロットである。プランジャーは内径 6 mm, 深さ 50 mm の標準寸法である。白抜き印は 1400°C, 黒印は 1250°C の場合である。また、丸印と三角印はそれぞれ試料重量が 5 g と 30 g を示している。この図では、見かけの反応速度定数に試料重量の相違は明確に出ているが、温度の効果を読み取ることはできない。

反応式が(4)式で与えられる場合、反応の律速段階は化学反応速度か物質移動速度のいずれかにある。本研究では律速段階の検証を行っていないので、見かけの反応速度定数が温度に依存しない理由を明確にはできないが、次の二つのうちのいずれかであろう。

(1) SiCl_4 の標準生成自由エネルギーは温度が高くなると大きくなる。すなわち、温度が高くなるにつれ、 Si の化学反応あるいは物質移動の駆動力は減少する。一方、

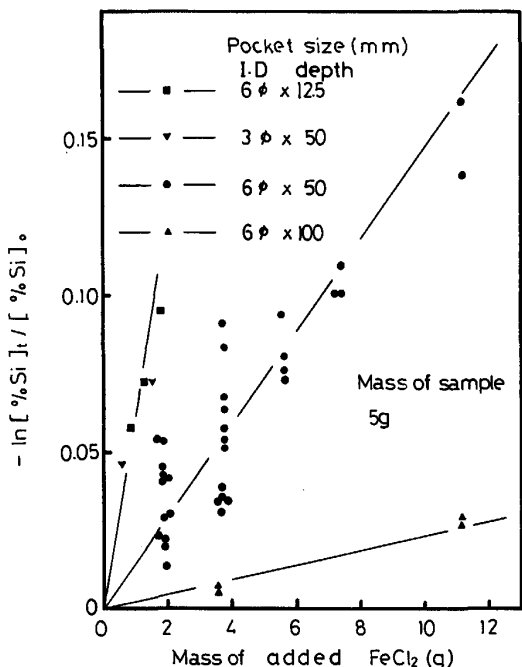


Fig. 11. Relationship between ratio of silicon content at time t to initial silicon content and mass of added FeCl_2 in the case of sample weight of 5 g at 1250°C.

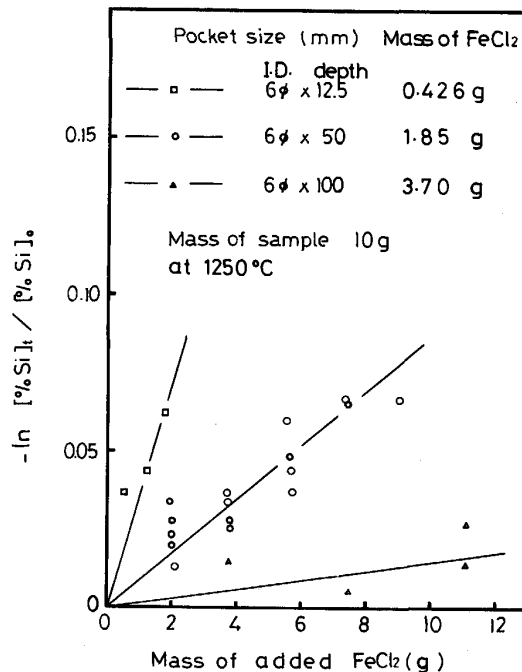


Fig. 12. Relationship between ratio of silicon content at time t to initial silicon content and mass of added FeCl_2 in the case of sample weight of 10 g at 1250°C.

化学反応速度定数または物質移動速度定数は温度が高くなると大きくなるので、駆動力の減少と速度定数の増大が相殺して、Siの塩化反応の見かけの反応速度定数に温度の影響が現れない。

(2) FeCl_2 が気化熱を奪うために反応界面の温度が低下し、バルクの温度とは異なつたほぼ一定の値となつてゐる。

4・4 FeCl_2 の利用効率

Fig. 11は溶鉄試料重量が5g, 反応温度が1250°Cの場合の投入 FeCl_2 の積算量と $-\ln [\% \text{Si}]_t / [\% \text{Si}]_0$ の関係をとつたものである。一定時間ごとに一定量の FeCl_2 を投入したので、投入 FeCl_2 積算量と時間が比例し、この関係は一回当たりの FeCl_2 投入量で層別される(7)式でも記述できる。

$$-\ln \frac{[\% \text{Si}]_t}{[\% \text{Si}]_0} = \eta' W_f \quad \dots \dots \dots (7)$$

ここで、 W_f は投入された FeCl_2 の積算重量、 η' は直

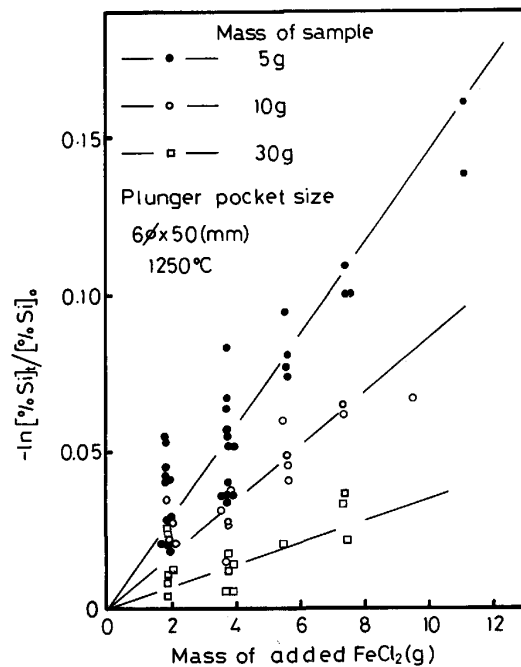


Fig. 13. Relationship between ratio of silicon content at time t to initial silicon content and mass of added FeCl_2 in the case of various sample weights at 1250°C.

Table 3. Reaction ration of Si per unit FeCl_2 weight, η' (1/g), at 1250°C.

Size of plunger (mm) I. D. × depth	Mass of samples (g)		
	5	10	30
6×12.5	0.065	0.035	—
3×50	0.065	—	—
6×50	0.0145	0.0086	0.0035
6×100	0.0026	0.0014	—

線の傾きである。この直線の傾き η' は、投入 FeCl_2 単位重量当たりの Si の反応率を示すものである。

Fig. 12 には同様に溶鉄試料重量 10 g の場合を示した。Fig. 11 および 12 では、試料重量が一定の場合には一回当たりの投入 FeCl_2 量が多いと η' が小さくなることが示されている。 FeCl_2 の一回の投入量が多いと η' が小さくなるのは、 FeCl_2 が未反応のまま吹き抜けてしまうことによるものと考えられる。

Fig. 13 は、 FeCl_2 の一回当たりの投入量を一定にして、試料重量の効果を見たものである。試料重量が大きくなると η' が小さくなることが示された。Fig. 11 から 13 で求めた η' の値を Table 3 に示す。

Fig. 14 に一回投入する FeCl_2 の重量 W_p をパラメーターにして、 η' と W_s の関係を両対数グラフにしたところ、傾きの等しい 3 本の直線が得られた。ただし、 W_p 、 W_s とも単位は g である。この直線は(8)式としてまとめることができる。

$$\log \eta' = -0.81 \log W_s + \log \eta'' \quad \dots \dots \dots (8)$$

ここで $\log \eta''$ は Y 軸の切片であり、 η'' は試料重量 1 g のときの投入 FeCl_2 単位重量当たりの Si の反応率である。 $\ln \eta''$ と W_p の関係は Fig. 15 のように直線で示すことができた。この直線は次のように記述できる。

$$\ln \eta'' = -W_p - 1.05 \quad \dots \dots \dots (9)$$

(8)と(9)式を用いて(7)式から η' を消去すると(10)式となる。

$$-\ln \frac{[\% \text{Si}]_t}{[\% \text{Si}]_0} = \frac{\exp(-W_p - 1.05)}{W_s^{0.81}} W_f \quad \dots \dots \dots (10)$$

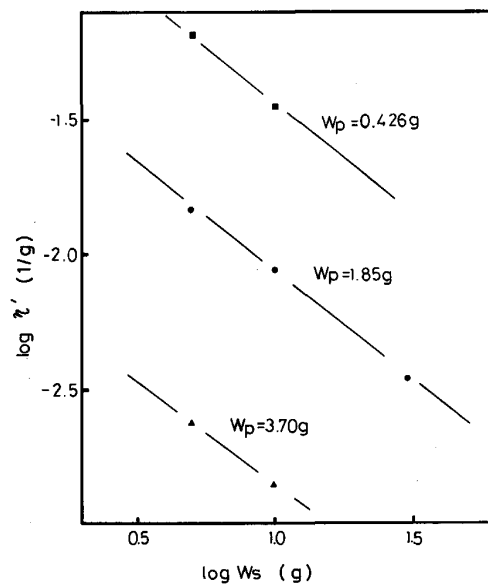


Fig. 14. Relationship between reaction ratio of Si per unit FeCl_2 weight, η' , and mass of sample at 1250°C.

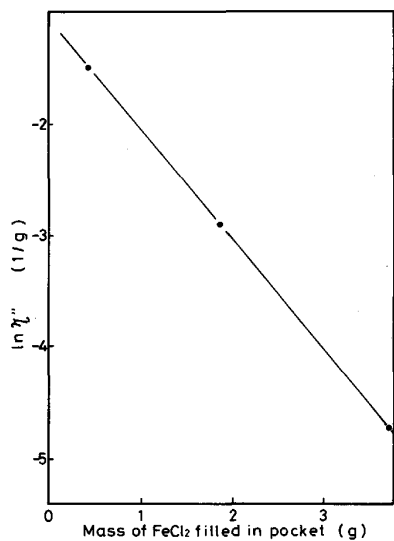


Fig. 15. Relationship between η' at sample weight of 1g, η'' , and mass of FeCl_2 filled in plunger pocket at 1250°C.

(10)式は η' を大きくするためには、 W_p を無限小に、 W_s を無限大にすればよいことを示している。すなわち、できる限り小さな形状の FeCl_2 を大きな容器に投入すれば良いということであり、粉体のインジェクションが最も好ましい、ということになる。

ここで、(10)式にしたがつて、0.3% Si の銑鉄 10 g を 0.1% Si まで脱珪するのに必要な FeCl_2 の量を求める。 $W_s=10 \text{ g}$, $W_p=0$, $[\% \text{Si}]_0=0.3$, $[\% \text{Si}]_f=0.1$ とすると、 $W_f=20.3 \text{ g}$ となる。すなわち、脱珪すべき溶鉄の 2 倍の脱珪剤が必要となる。このとき脱珪に利用される FeCl_2 は、投入されたもののうちの 0.9 % である。

さらに $W_s=200 \text{ g}$ とすると $W_f=229 \text{ g}$ 、すなわち、脱珪すべき溶鉄の 1.1 倍の脱珪剤が必要となる。このとき脱珪に利用される FeCl_2 は、投入されたもののうちの 1.6 % である。

この実験結果から推定した脱珪剤の量はいかにも多いよう見える。しかし、未反応の FeCl_2 と生成した SiCl_4 は沸点の差を利用して分離することができるので、未反応の FeCl_2 は循環させて何回でも繰り返し使用ができる。しかし、循環させる際のエネルギー損失を最小限にする工夫が必要である。

4・5 反応率向上のための検討

(2)式が示すように、この反応は体積減少型の反応で

ある。したがつて、ルシャトリエの法則から全圧が大きい方が反応は右方向に進行しやすい。また、この反応は発熱反応であるので¹⁾ 温度の低い方が反応にとって有利であることが考察される。

以上は、反応率を向上させるには、可能な限り低い温度で操業し、また、溶鉄の底から FeCl_2 を吹き込むようにするとよいことを示している。

また、(10)式の W_s のべき数を小さくするような反応条件を作ることができれば必要 FeCl_2 量を小さくすることが可能である。

5. 結 言

黒鉛製のプランジャーに粉末の FeCl_2 を充填し Si を含有する炭素飽和溶鉄中に投入することにより脱珪のできることを明らかにした。

この脱珪反応は次のような特徴をもつている。

1) 反応は見掛け上溶鉄中の Si 濃度の一次反応として記述できる。

2) 反応速度は試料重量の逆数にはほぼ比例する。

3) 反応速度には温度の影響が見られない。

4) 溶鉄単位重量当たりに投入する FeCl_2 の量は粉末インジェクションを行い、かつ溶鉄重量を大きくすると少なくできることを考察した。

本研究の一部は、昭和 60-62 年度文部省科学研究費補助金（一般研究 C）を受け、また、千葉工業大学学生、和田尚行（現、古河鉱業（株））、竹村元洋（現、（株）エヌデーシー）、高田篤（現、自動車鑄物（株））、の諸君の協力の下に行われた。記して謝意を表する。

文 献

- I. BARIN and O. KNACKE: Thermochemical Properties of Inorganic Substances, Springer-Verlag (1973)
- 池田隆果、多賀雅之、松尾 亭: 鉄と鋼, 65 (1979), S 737
- 向井達夫、福田正博、後藤裕規、和田 要: 鉄と鋼, 67 (1981), S 935
- 福地 慣: 公開特許公報 昭 47-15320
- 遠藤公一、金子敏行、溝口庄三: 公開特許公報 昭 58-126916
- C. J. OSBORN: J. Met. Trans. AIME, 188 (1950), p. 862
- H. H. KELLOGG: J. Met. Trans. AIME, 230 (1964), p. 862
- H. VILLA: Thermodynamic Data of the Metallic Chlorides, J. Soc. Chem. Ind. Suppl. Iss. No. 1, S9-s-17 (1950)
- 岩波理化学辞典第 3 版（玉虫文一、富山小太郎、小谷正雄、安藤鉄郎、高橋秀俊、久保亮五、長倉三郎、井上敏編）(1971) [岩波書店]
- 化学辞典（志田正二編集代表）(1981) [森北出版]